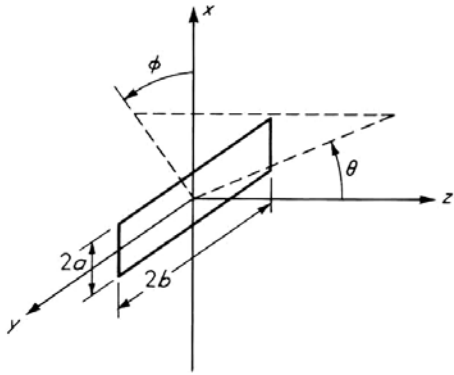
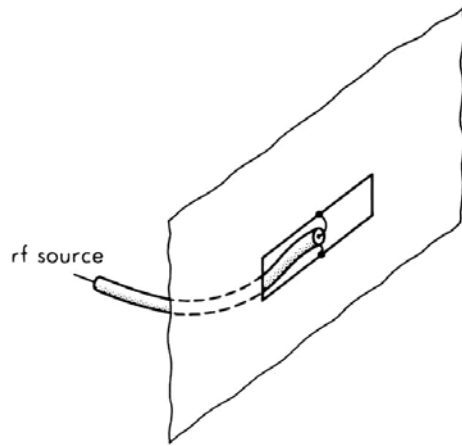


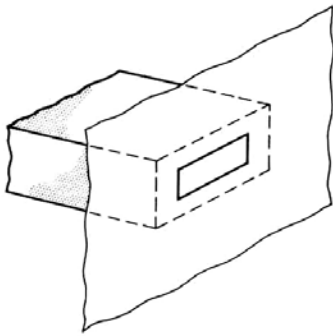
antenne a fessura



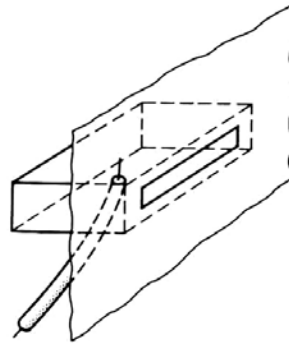
Slot in a ground plane.



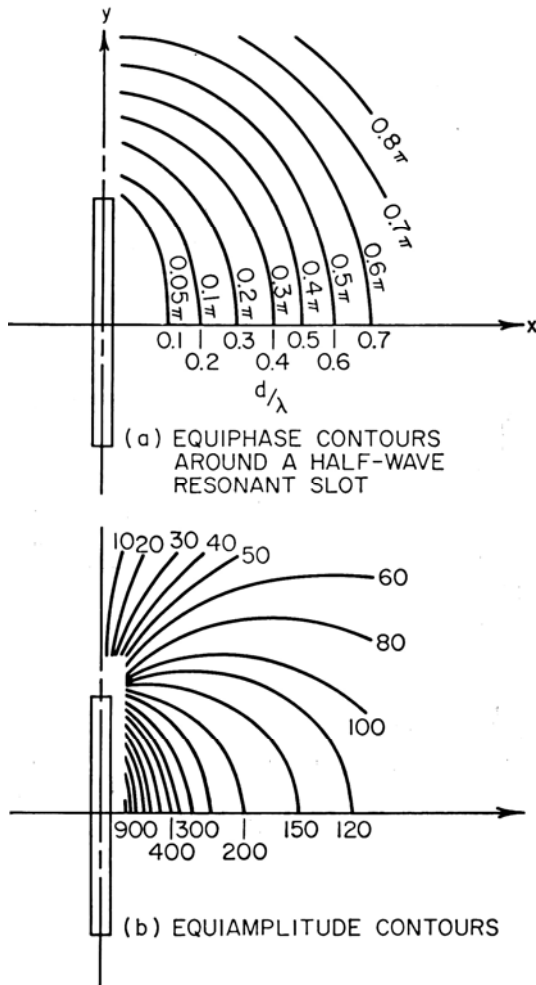
Coax-fed slot.



Endwall slot.

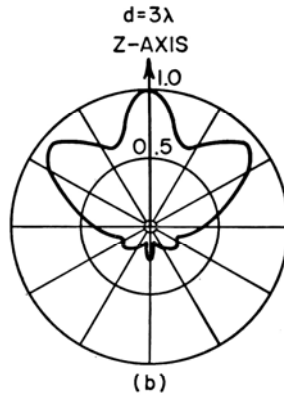
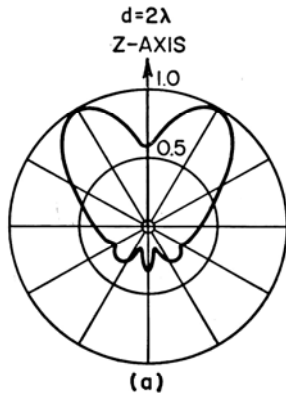


Cavity-fed slot.

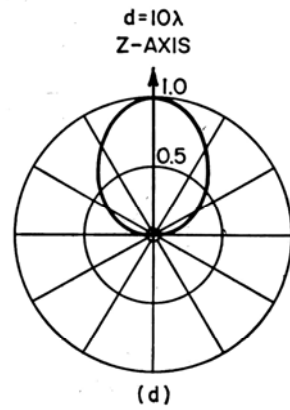
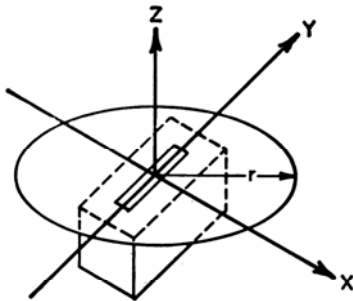
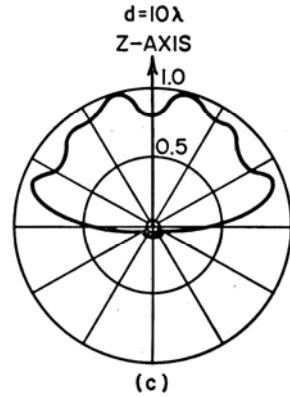


linee equilivello ed equifase della corrente superficiale indotta in prossimità di una fenditura risonante in $\lambda/2$

antenne a fessura risonante su piano di massa finito

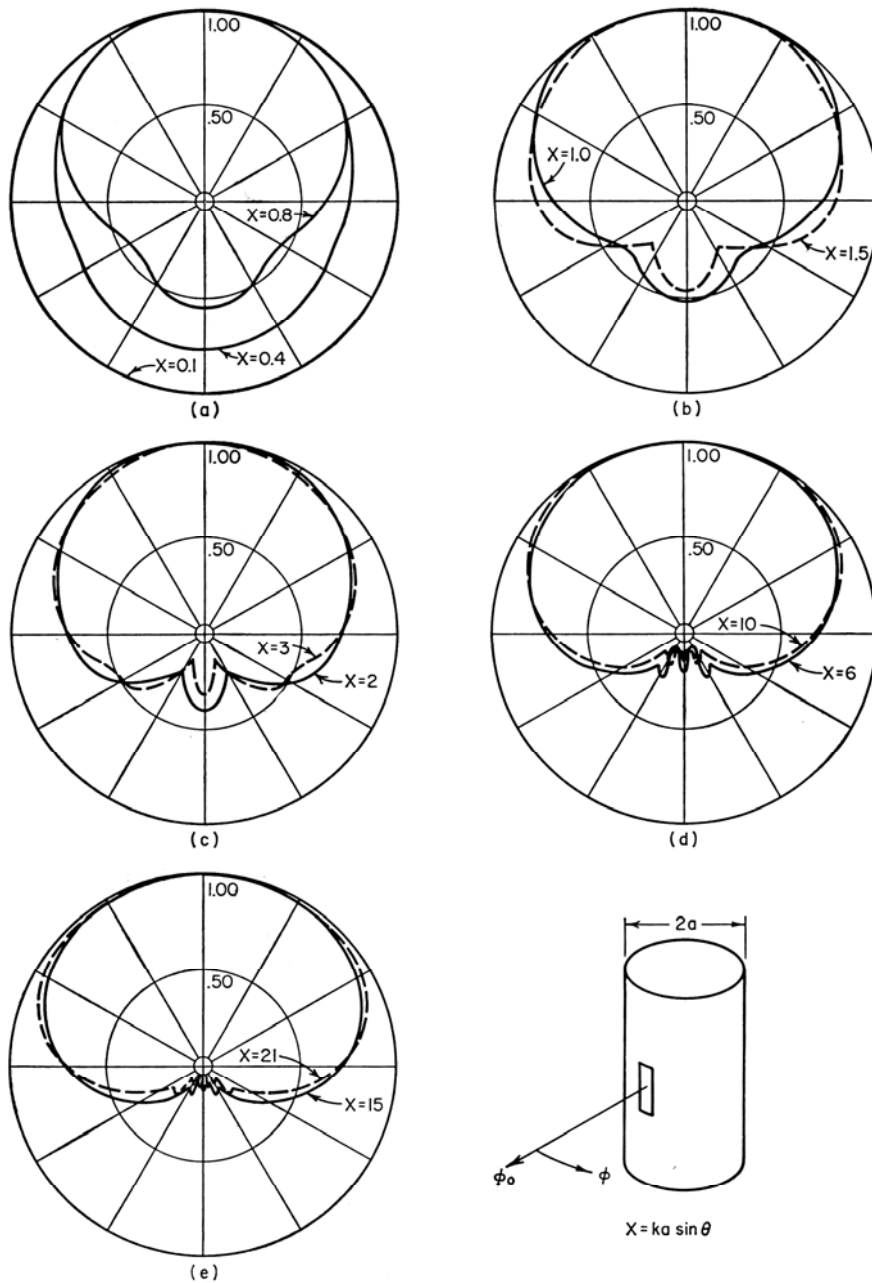


POLAR DIAGRAM IN X, Z PLANE



POLAR DIAGRAM IN Y, Z PLANE

antenne a fessura assiale in guida circolare



diagrammi di radiazione azimutali di una fenditura assiale:
 $x = ka \sin \theta$

antenna notch
(antenna a fenditura aperta)

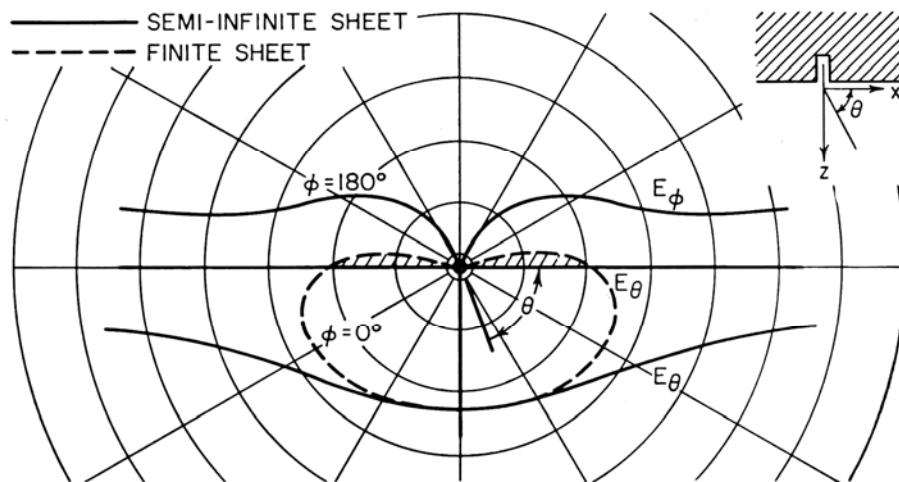
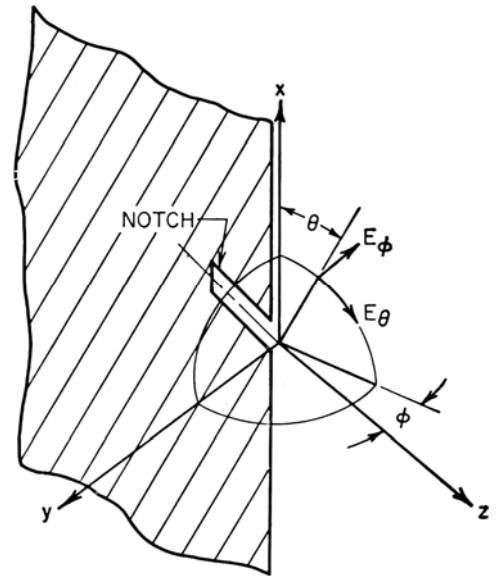
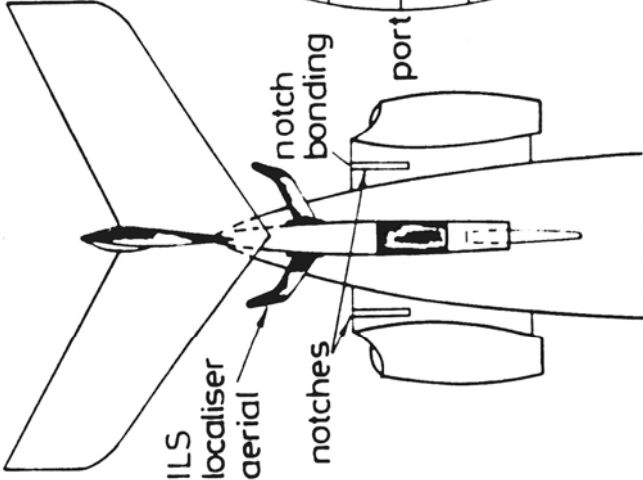
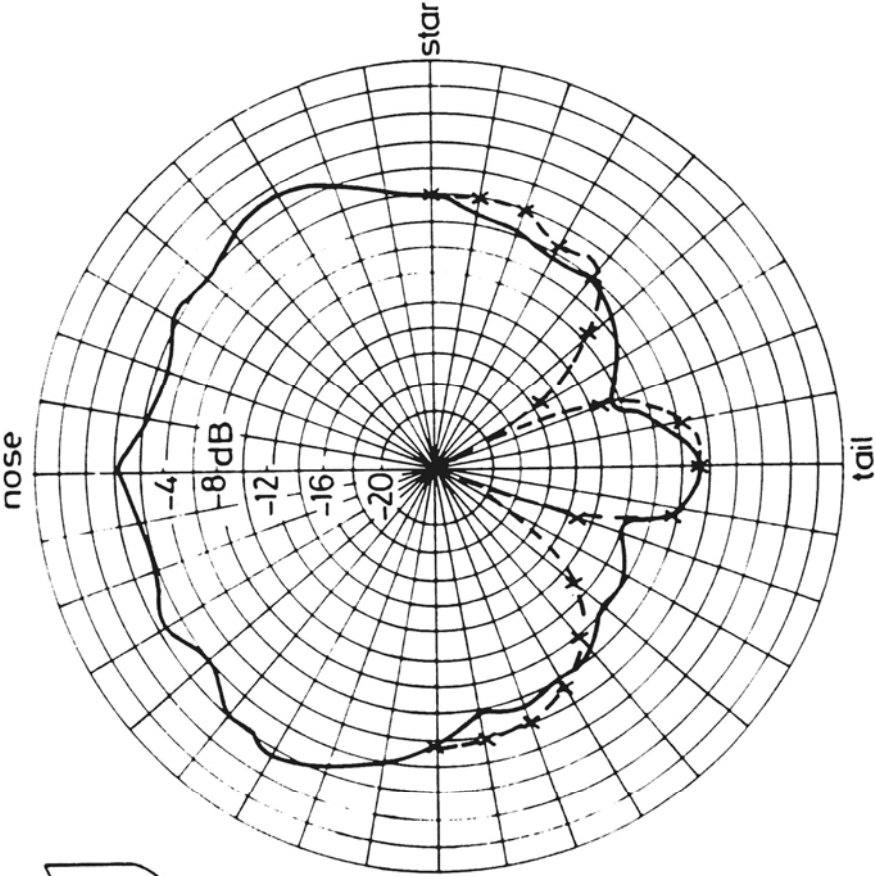


diagramma di radiazione sul piano x-z

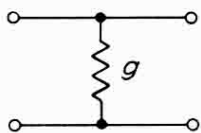
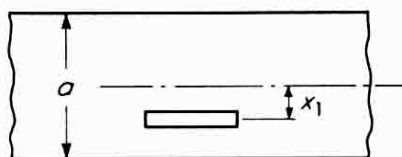
antenna notch parasita



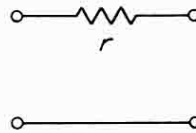
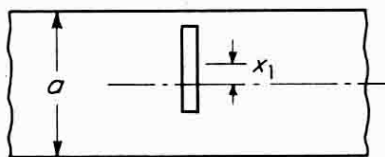
Effect of parasitic notches on ILS localiser antenna patterns

- Notches bonded
- - - Notches unbonded

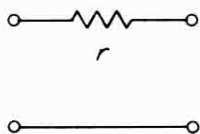
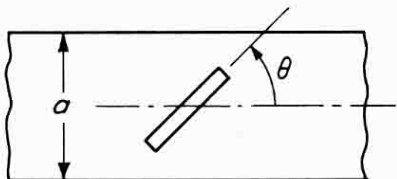
circuiti equivalenti di fenditure risonanti in guida rettangolare



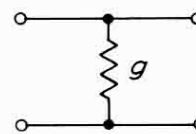
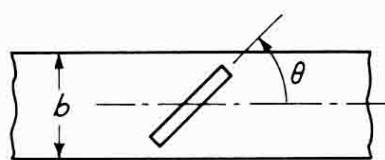
(a)



(b)

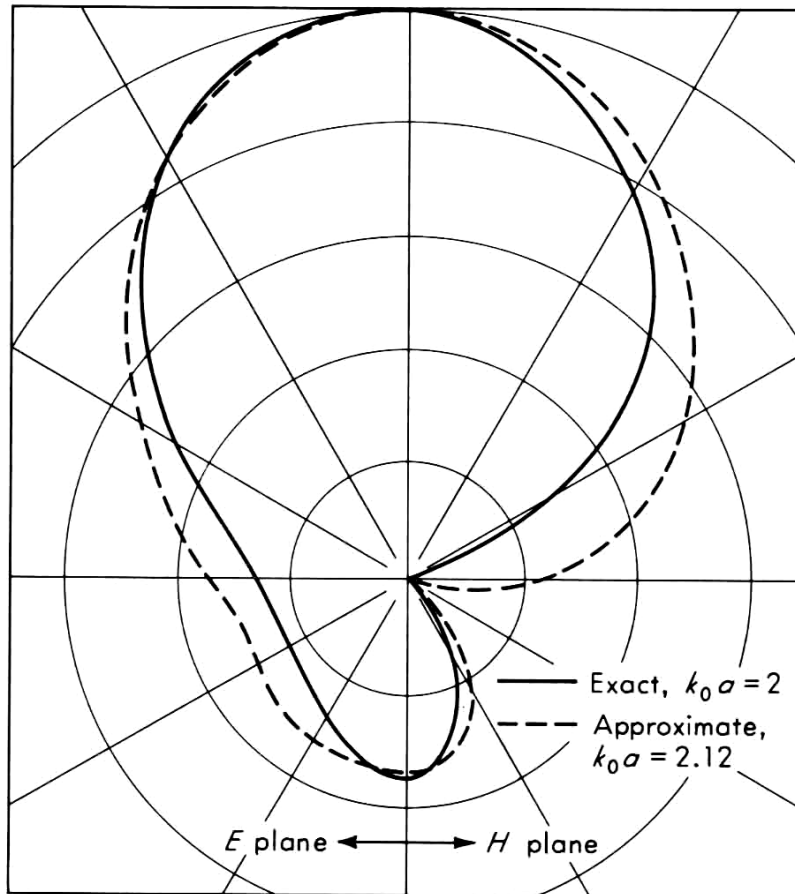


(c)



(d)

Radiazione da guida circolare troncata (modo TE_{11})



apertura del fascio a -3 dB

$14.7 \lambda/a$ [gradi]

sul piano E

$18.6 \lambda/a$ [gradi]

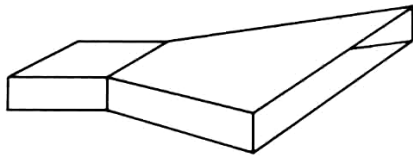
sul piano H

direttività

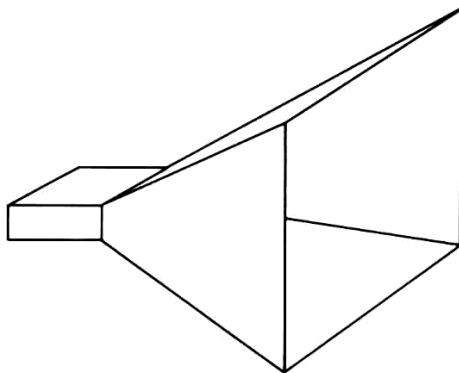
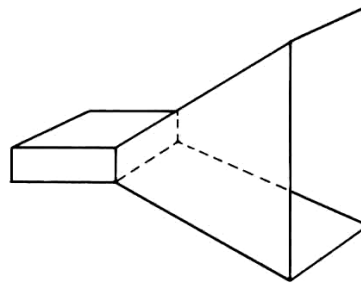
$10.5 \pi a^2 / \lambda^2$

antenne a tromba

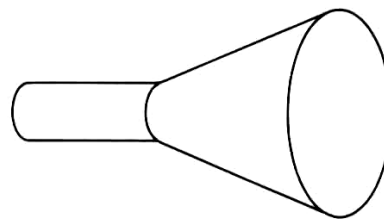
tromba settoriale sul piano H



tromba settoriale sul piano E

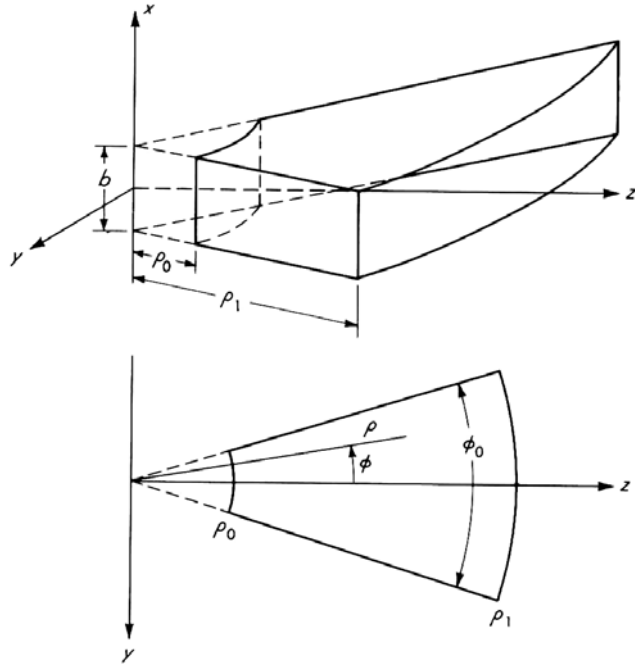


tromba piramidale



tromba conica

tromba sul piano H
 modo dominante in guida radiale

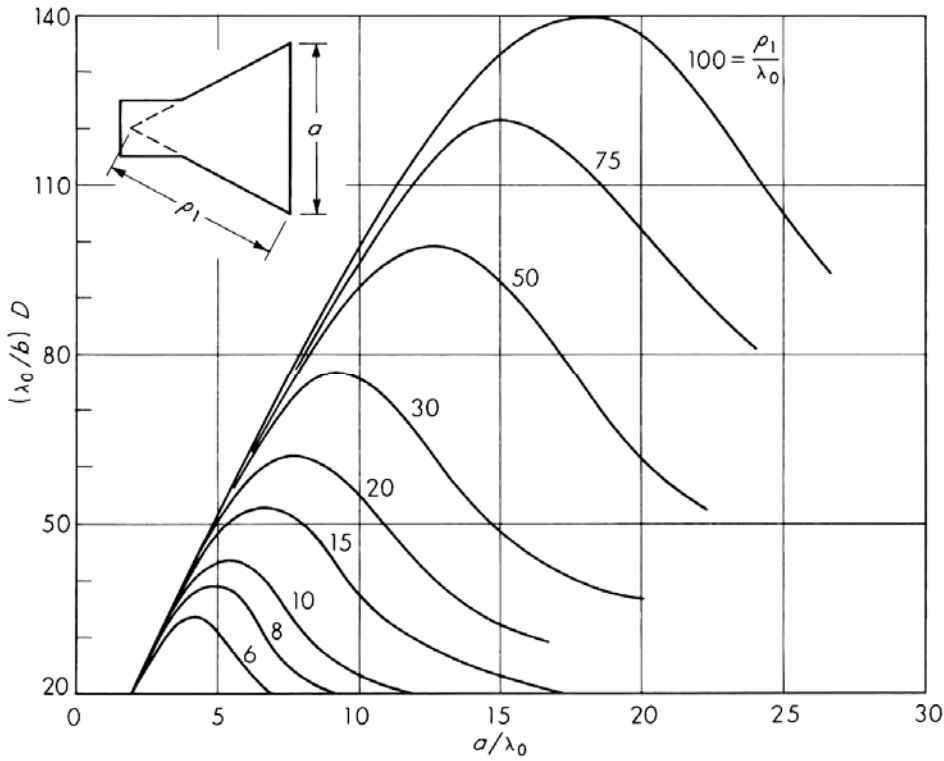


$$\left\{ \begin{array}{l} E_x = A \cos \nu \varphi H_\nu(k_o \rho) \\ H_\varphi = -j \frac{A}{\eta} \cos \nu \varphi \frac{\partial H_\nu(k_o \rho)}{\partial (k_o \rho)} \\ H_\rho = -j \frac{A}{\eta} \nu \sin \nu \varphi \frac{H_\nu(k_o \rho)}{k_o \rho} \end{array} \right. \quad \nu = \frac{m\pi}{\varphi_o} \quad (\text{m dispari})$$

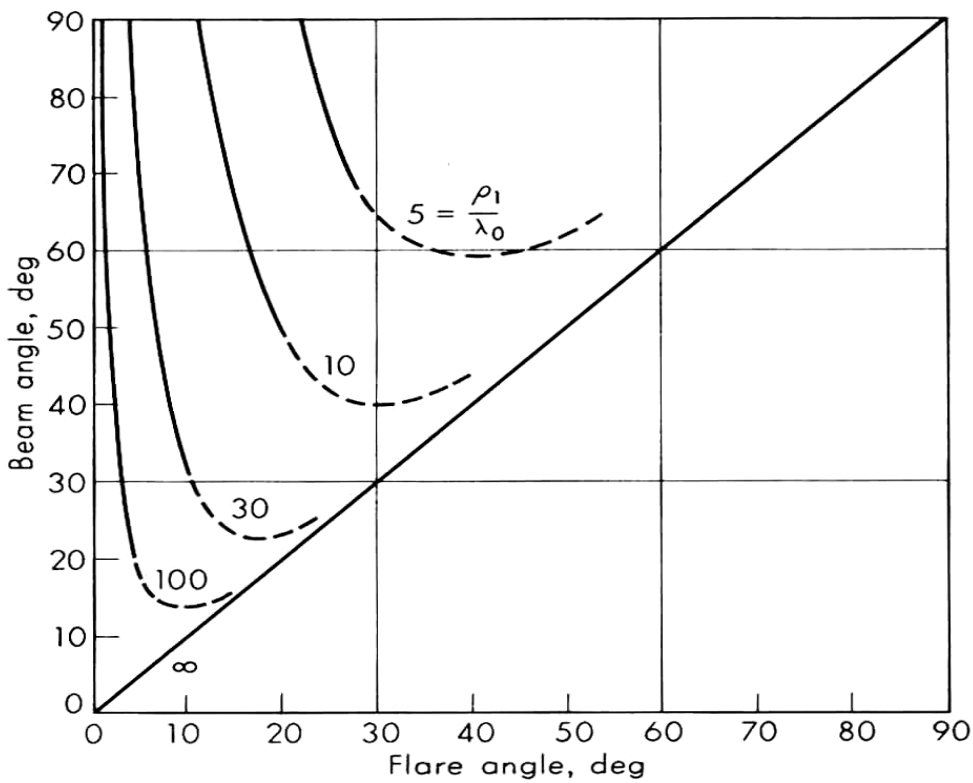
$$H_\nu(k_o \rho) \rightarrow \sqrt{\frac{2}{\pi k_o \rho}} e^{-j\left(k_o \rho - \pi \frac{2\nu+1}{4}\right)}$$

$$\frac{\partial H_\nu(k_o \rho)}{\partial (k_o \rho)} \rightarrow -j \sqrt{\frac{2}{\pi k_o \rho}} e^{-j\left(k_o \rho - \pi \frac{2\nu+1}{4}\right)}$$

antenna a tromba settoriale piano H

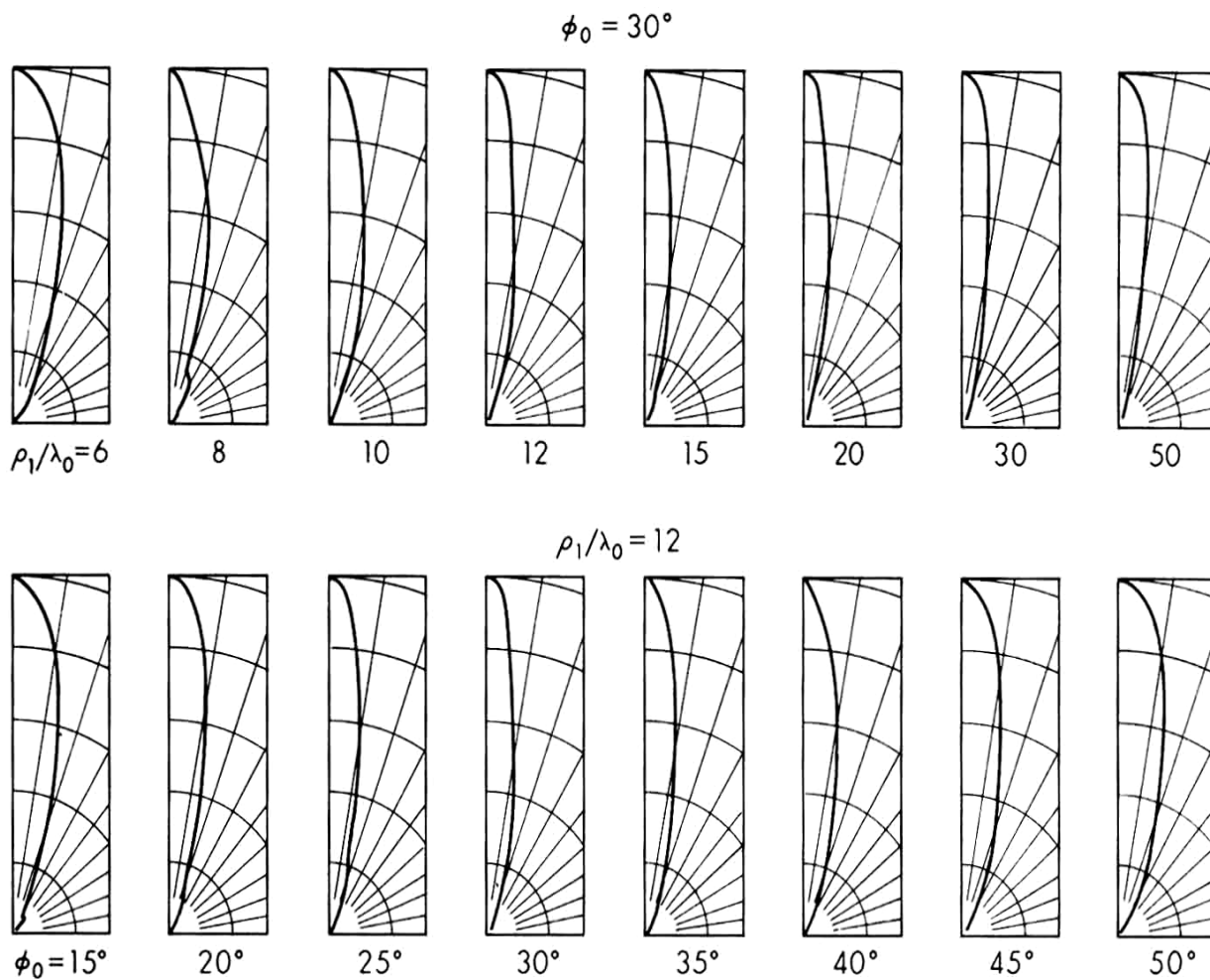


direttività



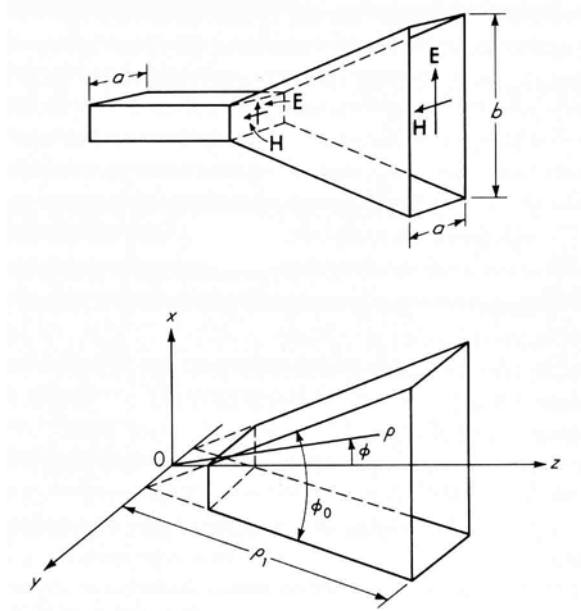
apertura del fascio

antenna a tromba settoriale piano H



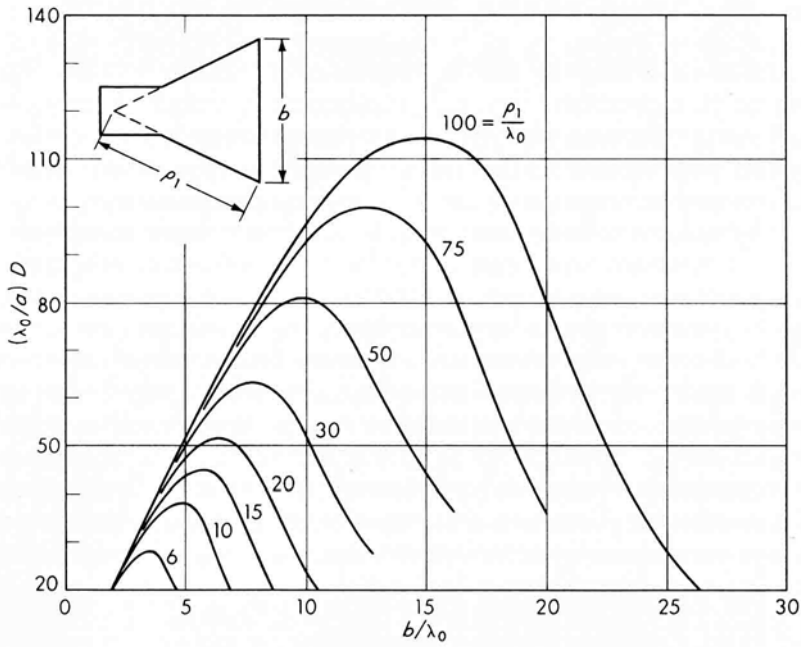
diagrammi di radiazione sul piano H

tromba sul piano E
 modo dominante in guida radiale

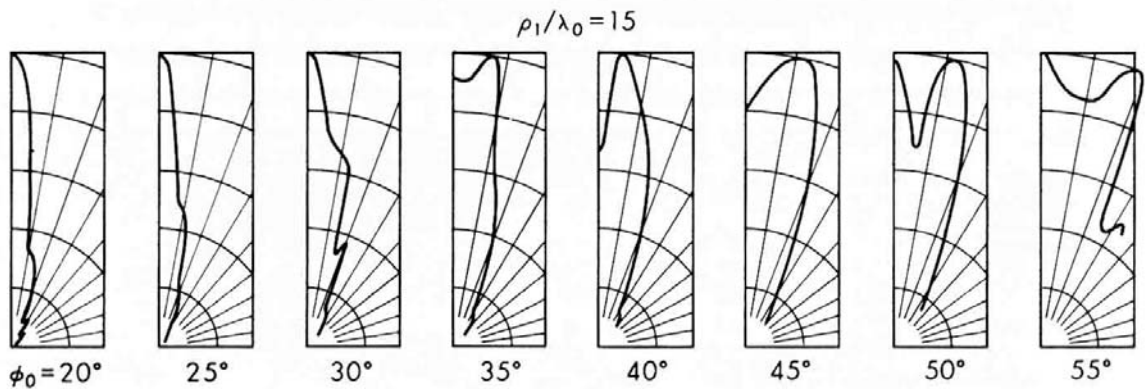
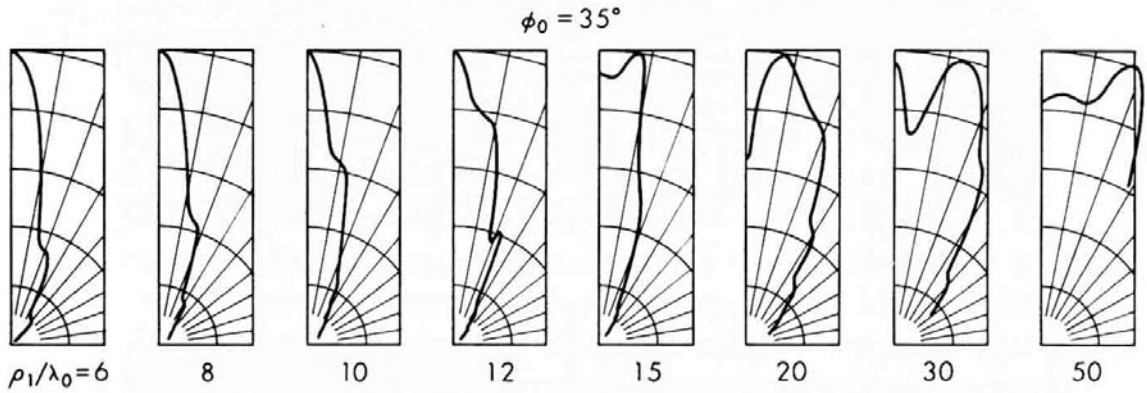


$$\left\{ \begin{array}{l} E_{\phi} = B \cos \frac{n\pi y}{a} H_1(\gamma\rho) \\ H_y = j \frac{B}{\eta} \cos \frac{n\pi y}{a} \frac{\partial H_1(\gamma\rho)}{\partial(\gamma\rho)} \\ H_{\rho} = -j B \frac{n\pi}{\eta k_o a} \sin \frac{n\pi y}{a} H_1(\gamma\rho) \end{array} \right. \quad \gamma = \sqrt{k_o^2 - \left(\frac{n\pi}{a}\right)^2}$$

antenna a tromba settoriale piano E

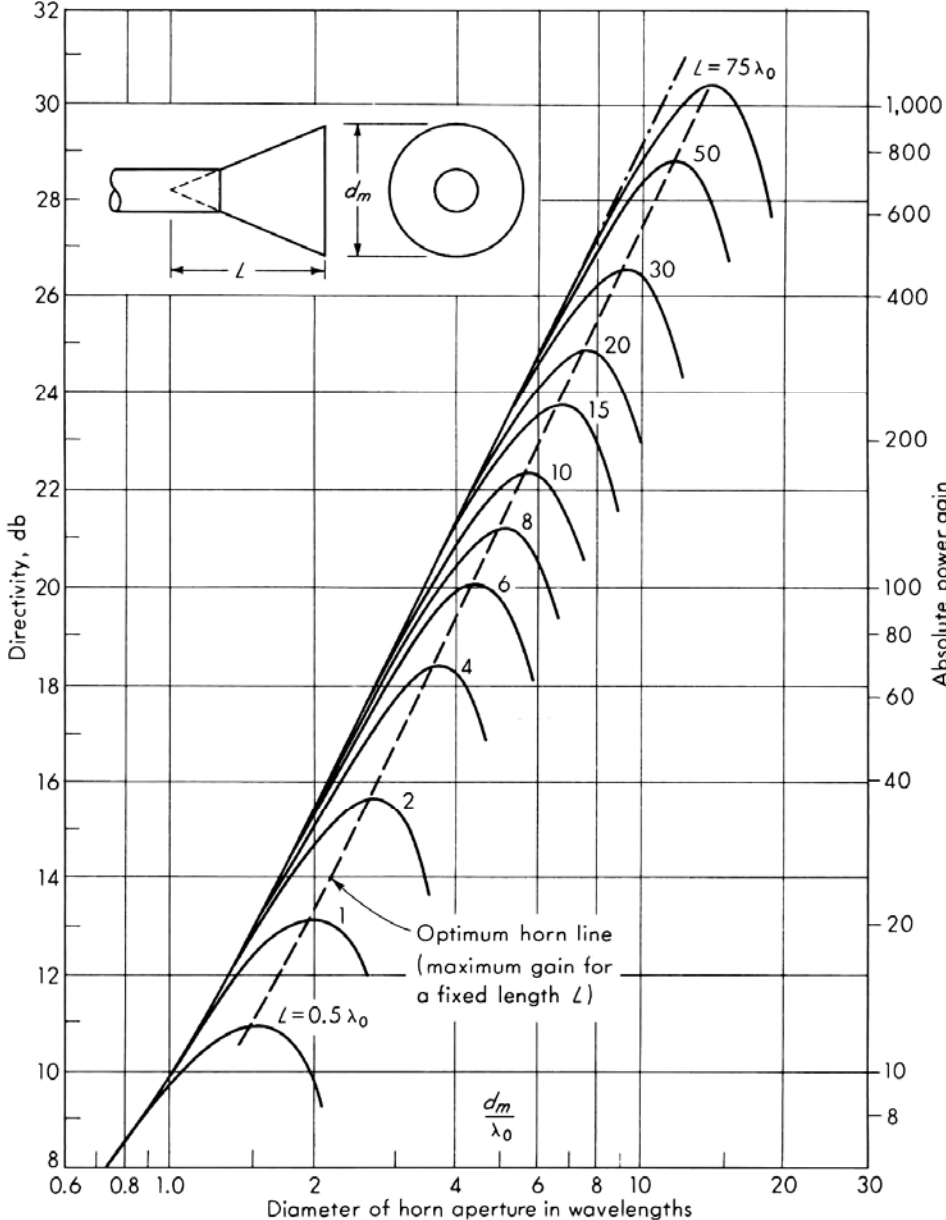
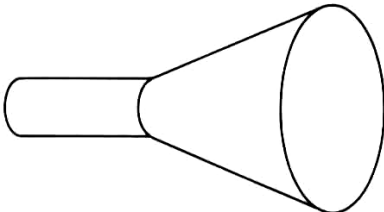


direttività

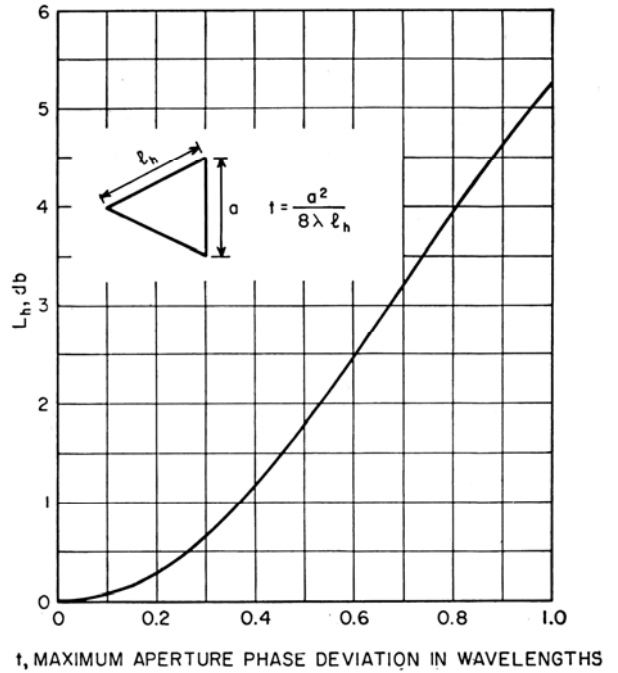
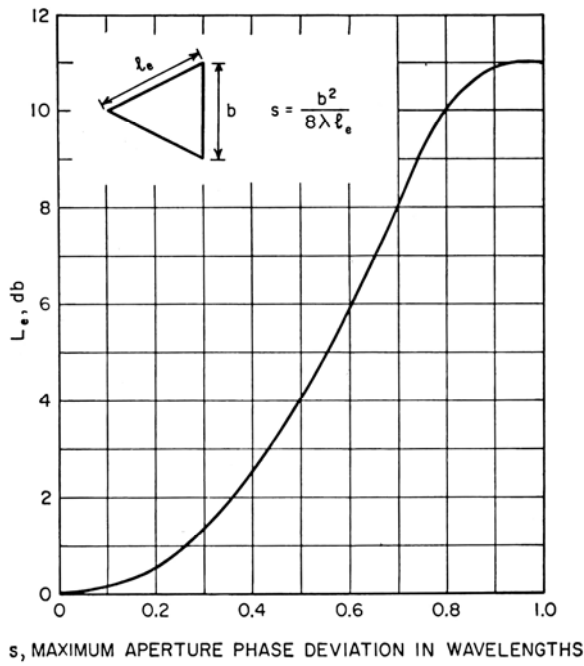
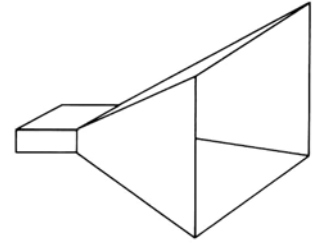


diagrammi di radiazione sul piano E

antenna a tromba conica



antenna a tromba piramidale



s, t = massima differenza di fase in lunghezze d'onda sul piano E e sul piano H

L_e, L_h = corrispondenti fattori correttivi del guadagno [dB]

$$g = 10 \left(1.008 + \text{Log} \frac{ab}{\lambda^2} \right) - (L_e + L_h) \quad [\text{dB}]$$

antenna a tromba piramidale ottimizzata

la tromba ottimizzata è quella che ha il massimo guadagno a parità di lunghezza. Questa situazione si trova se tra le dimensioni dell'apertura e le lunghezze l_e e l_h sono rispettate le seguenti relazioni:

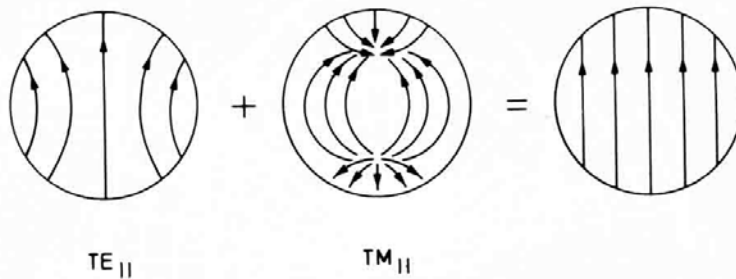
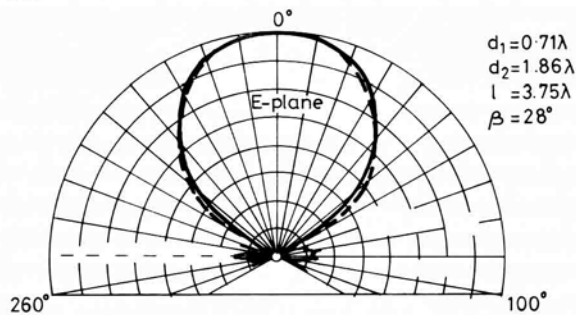
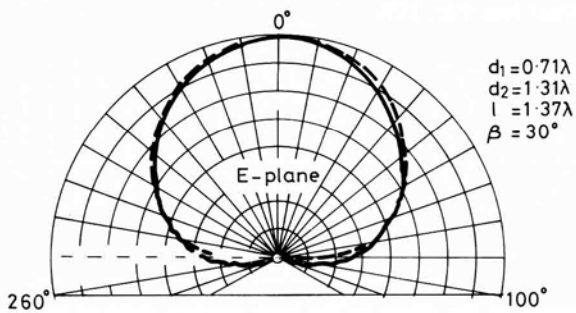
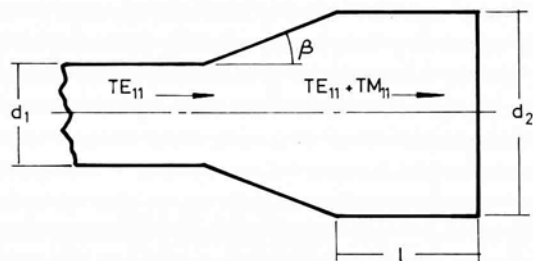
$$a = \sqrt{3\lambda l_h} \qquad b = \sqrt{3\lambda l_e}$$

in queste condizioni risulta:

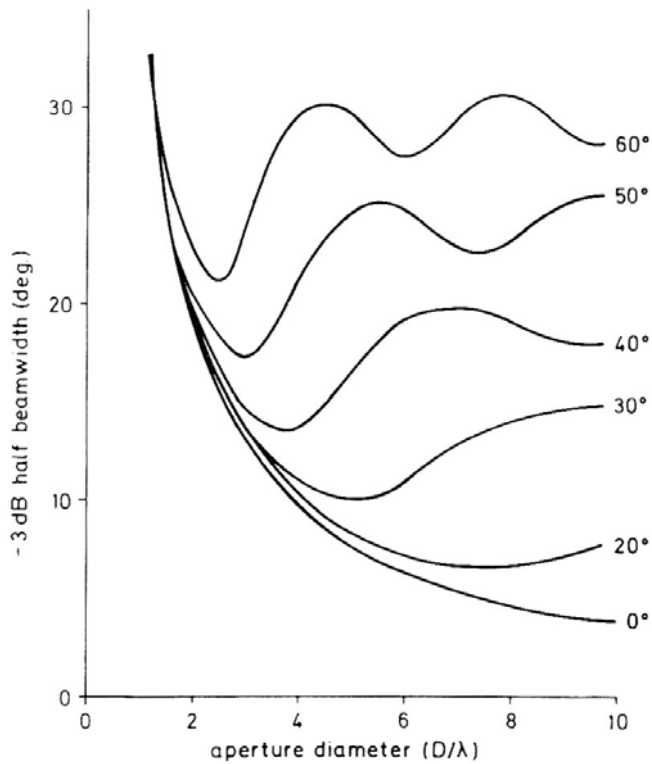
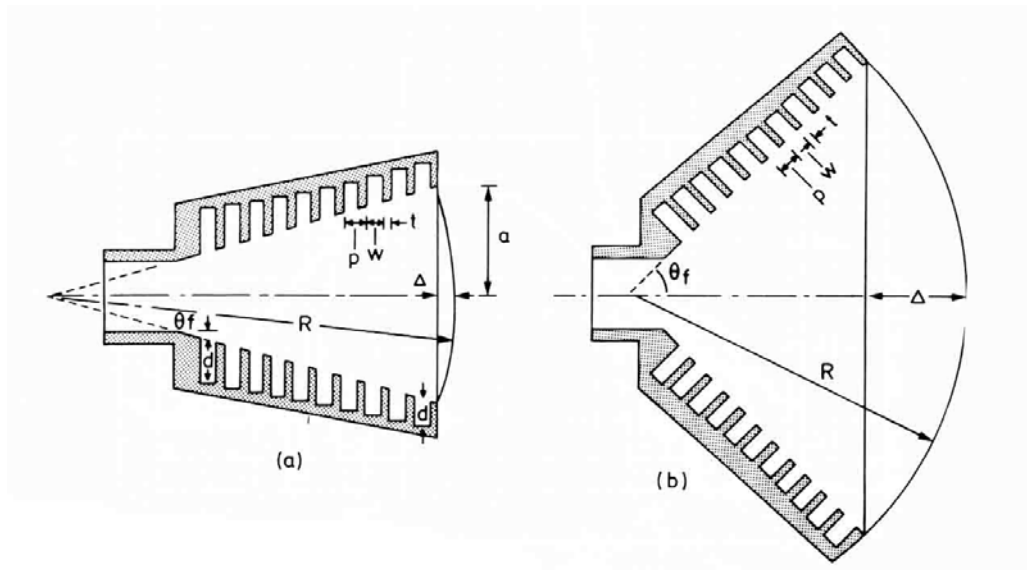
$$A_{eff} \approx \frac{A}{2}$$

$$g = 10 \left(0.808 + \text{Log} \frac{ab}{\lambda^2} \right) \quad [\text{dB}]$$

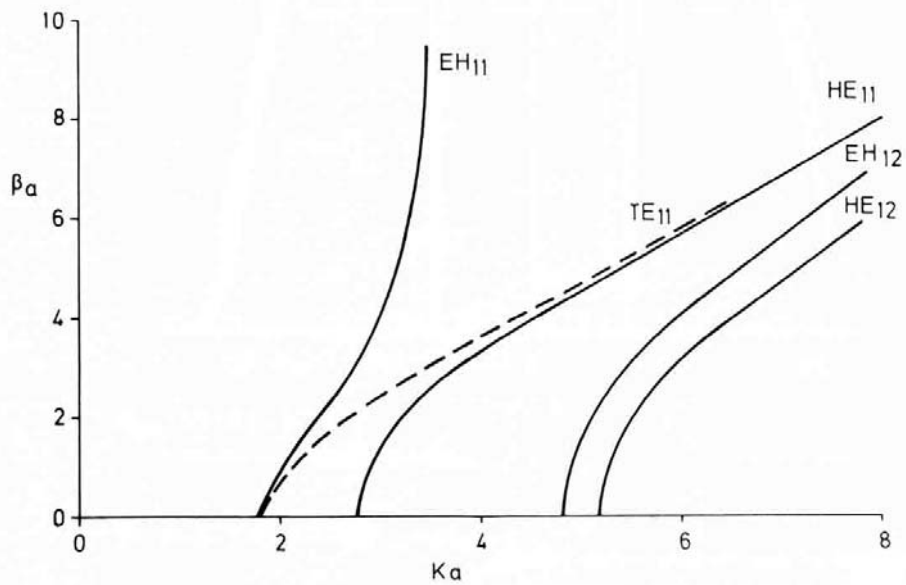
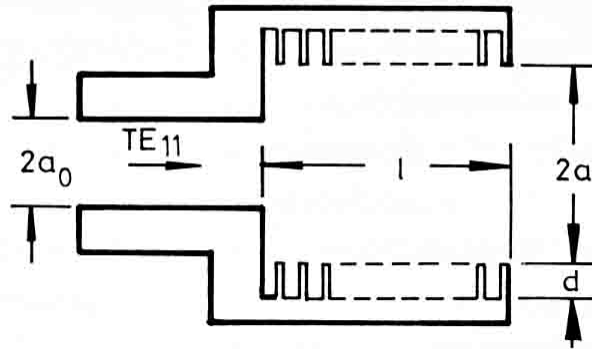
antenna a tromba bimodale



antenna a tromba corrugata (modi ibridi)



antenna a tromba corrugata multimodale



dispersione dei primi modi sopportati dalla guida corrugata